

УТВЕРЖДАЮ

Руководитель предприятия
п/я 2745

С.И.Косых

27 10

1988 г.

Руководящий документ

Осесимметричные элементы корпусов
трубопроводной арматуры.

РДМУ 26-07-270-88

Методические указания по расчету
температурных напряжений

Вводится впервые

Дата введения 01.01.89

Настоящий руководящий документ распространяется на корпуса трубопроводной арматуры, работающей в условиях температурных воздействий и устанавливает методики расчета температурных напряжений в осесимметричных элементах корпуса, представляющих собой цилиндрические и сферические тонкостенные оболочки, кольцевые пластины и узкие кольца прямоугольного сечения, и узлах сопряжения указанных элементов.

I. Общие положения

I.1. Для расчета температурных напряжений осесимметричных элементов и узлов корпуса трубопроводной арматуры используются основные положения и методы **квазистатической** задачи термоупругости тонких оболочек вращения, пластин и стержней. При нестационарных тепловых режимах время играет роль **параметра**.

I.2. Рассматриваются цилиндрические и **сферические** тонкостенные оболочки вращения, кольцевые **пластины**, узкие кольца **прямоугольного сечения** я узлы сопряжения указанных элементов.

I.2.1. Формулы справедливы при следующих условиях с погрешностью порядка 10%:

- для оболочек вращения

$$\frac{S}{\tau} \leq 0.1 ;$$

- для пластин

$$0.5 < \frac{\epsilon^*}{z_h - z_b} \leq 1.2 , \quad z_b \leq 1.4 ;$$

- для колец

$$\frac{S_m}{\tau} \leq 0.2 .$$

Указанные пределы могут быть расширены, что приводит к снижению точности расчета.

I.3. Температурная нагрузка - осесимметричное температурное поле **расчетного элемента**.

I.4. Исходными данными для расчета являются:

- **геометрические** размеры;
- **физические** и механические характеристики материала **корпуса**;
- **температурая** нагрузка расчетного элемента.

2. Методика расчета температурных напряжений
в отдельных осесимметричных элементах корпуса

2.1. Температурные нагрузки при расчете отдельных осесимметричных элементов корпуса выбраны следующие:

- для оболочек вращения - изменение температуры по толщине оболочки;
- для пластин и колец - изменение температуры по радиусу элемента.

2.2. Температурные напряжения в цилиндрической и сферической оболочках определяются вдали от края на наружной и внутренней поверхности оболочки, для колец и пластин температурные напряжения определяются на наружном или внутреннем крае элемента.

2.3. Для цилиндрической и сферической оболочек температурные напряжения на наружной и внутренней поверхности равны:

$$\sigma_{sh} = \sigma_{\theta h} = \frac{E \alpha T}{(1-\nu)} (T_s - T_h) , \quad (1)$$

$$\sigma_{sv} = \sigma_{\theta v} = \frac{E \alpha T}{(1-\nu)} (T_s - T_v) .$$

2.4. Температурные напряжения на наружном или внутреннем крае кольцевой пластины равны:

$$\sigma_z = \sigma_\theta = \frac{E \alpha T}{(1-\nu)} (T_s - T_{pl}) . \quad (2)$$

2.5. Температурные напряжения на наружном или внутреннем крае кольца с радиусом z равны:

$$\sigma_\theta = \frac{E \alpha T (z_h + z_v)}{2z} (T_s - T_k) . \quad (3)$$

2.6. Алгоритм, форма расчета и пример расчета приведены в приложении 2, таблица 2.

3. Методика расчета температурных напряжений в узлах сопряжения

3.1. Температурные напряжения определяются для наиболее распространенных в корпусе арматуры сочетаний **осесимметричных** элементов: двух цилиндрических оболочек различной **толщины**, цилиндрической и сферической оболочек, цилиндрической оболочки о пластиной или кольцом.

Расчетные схемы узлов сопряжения **осесимметричных** элементов корпуса представлены на **рис. I-4**.

3.2. В качестве температурных нагрузок при **расчете** узлов сопряжения выбрана **разность** средних температур сопрягаемых элементов.

3.2.1. В качестве средней температуры **расчетного** элемента выбирается **среднеинтегральная** температура по толщине оболочки или по площади поперечного сечения кольца, пластины.

3.3. Расчет температурных напряжений в узлах сопряжений при наличии разности средних **температур** осесимметричных элементов корпуса **выполняется** в месте стыка сопрягаемых элементов по формулам, представленным в таблице I.

3.4» Алгоритм, форма и пример расчета приведены в приложении 2, **таблица 3**.

3.5. Температурные напряжения в узлах сопряжения от **действия** различных видов нагрузок определяются как сумма напряжений по **методике** раздела 2 и п.3.3.

Расчетные схемы узлов сопряжения осесимметричных элементов корпуса

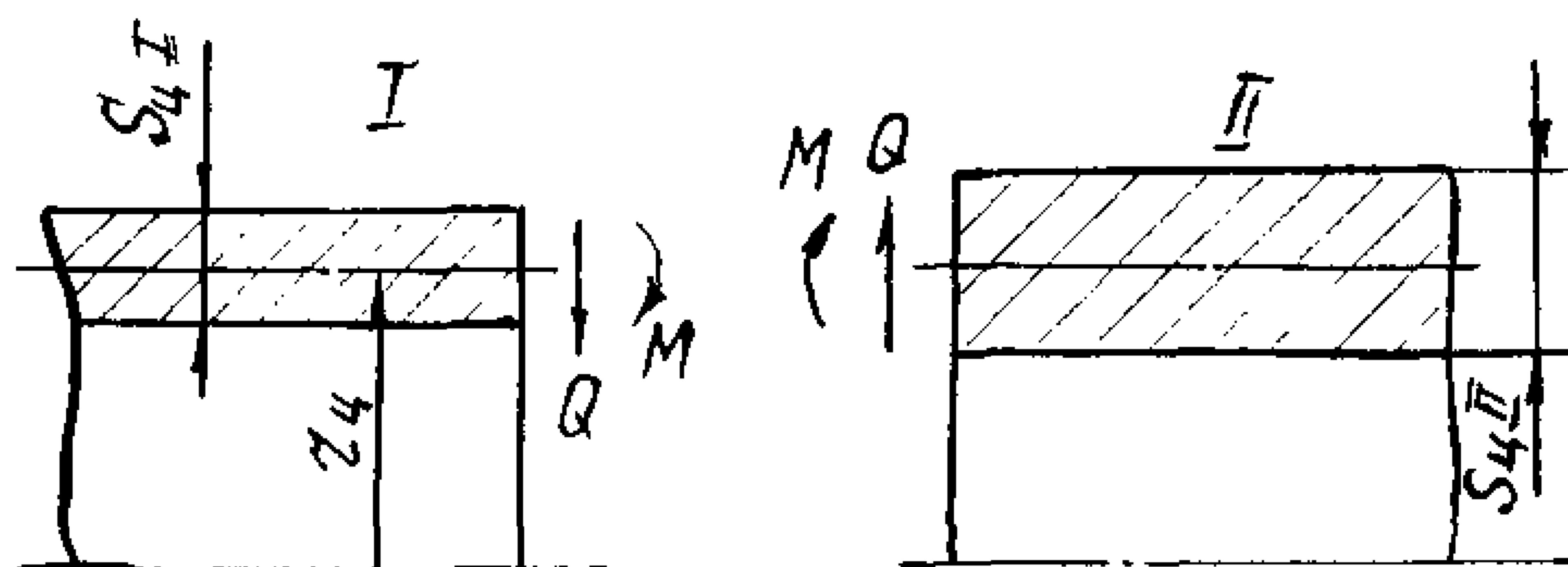


Рис.1. Узел сопряжения двух цилиндрических оболочек

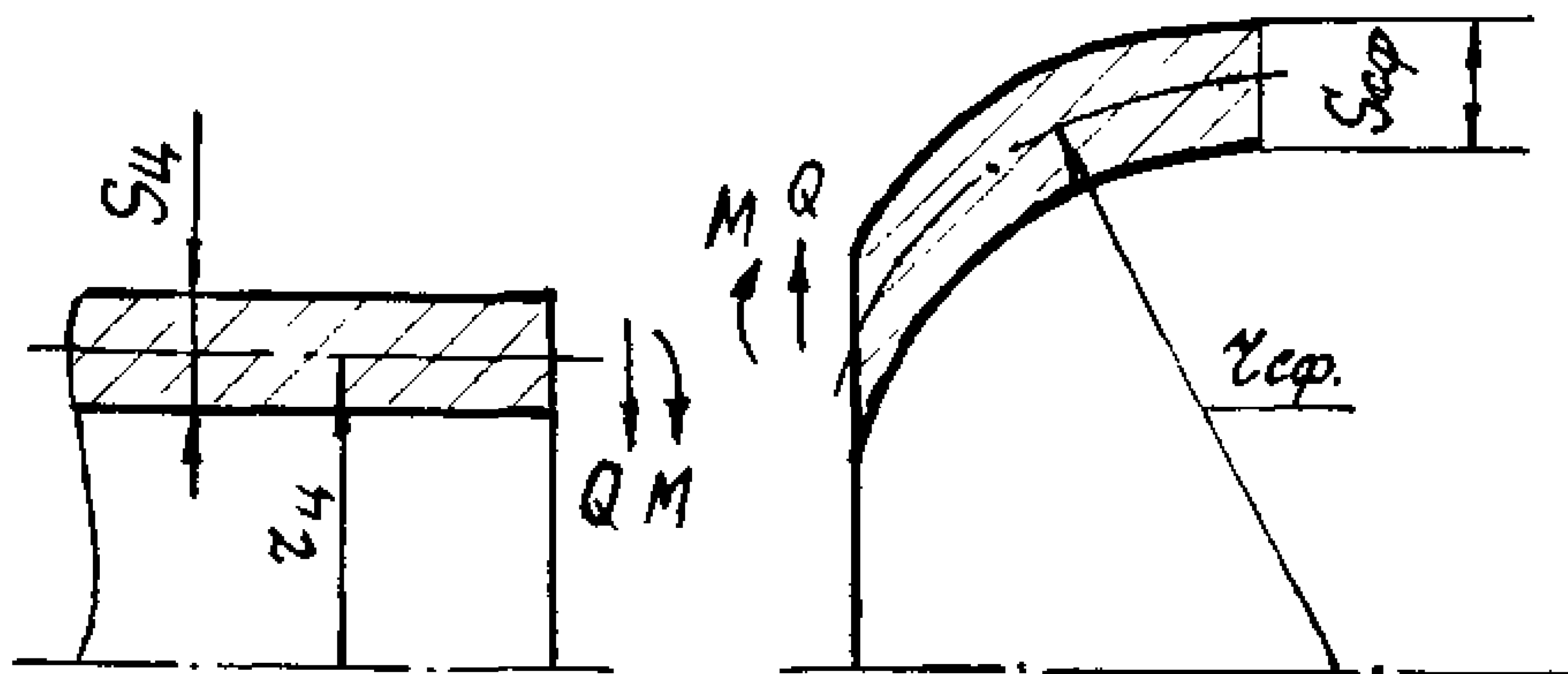


Рис.2. Узел сопряжения цилиндрической и сферической оболочек

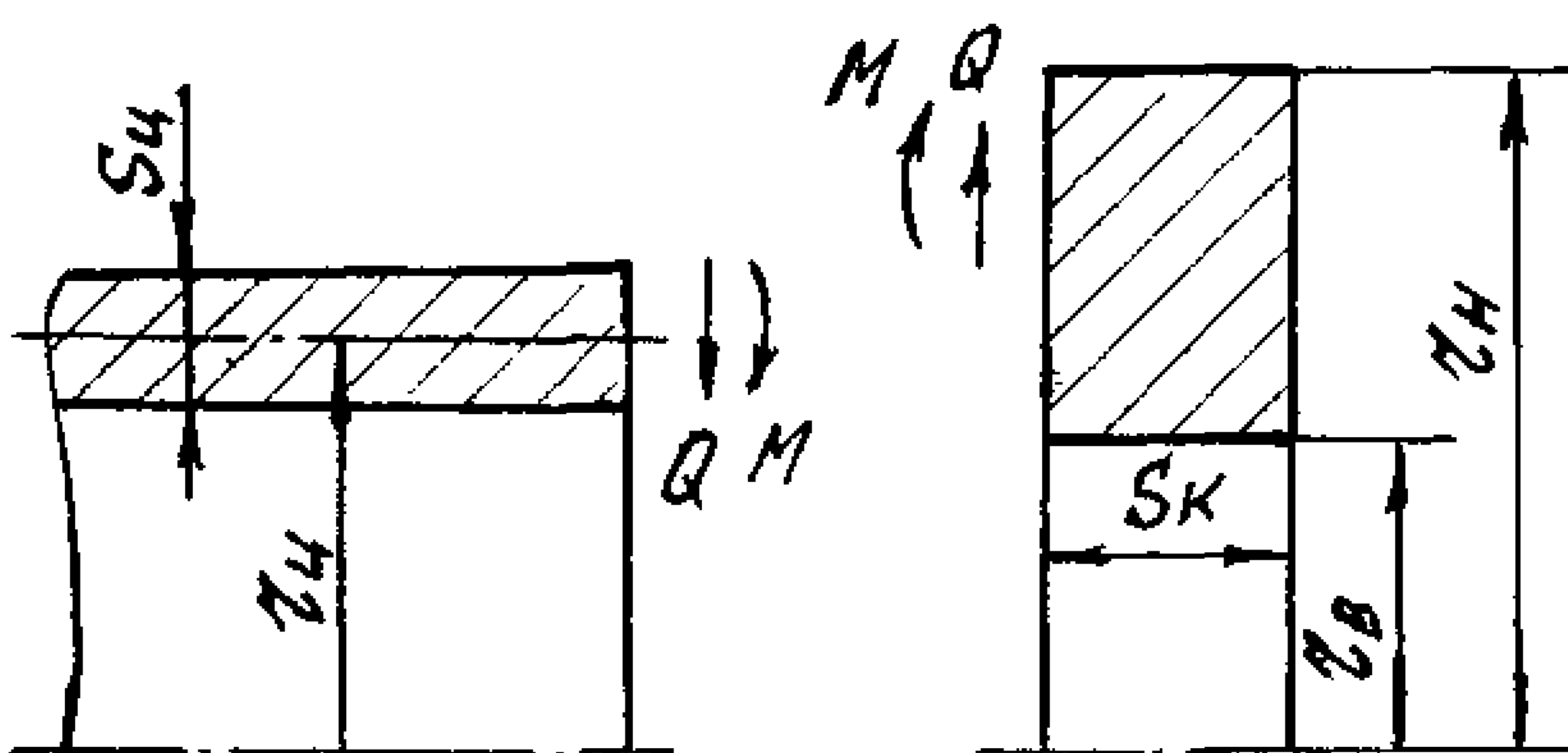


Рис.3. Узел сопряжения цилиндрической оболочки с кольцом

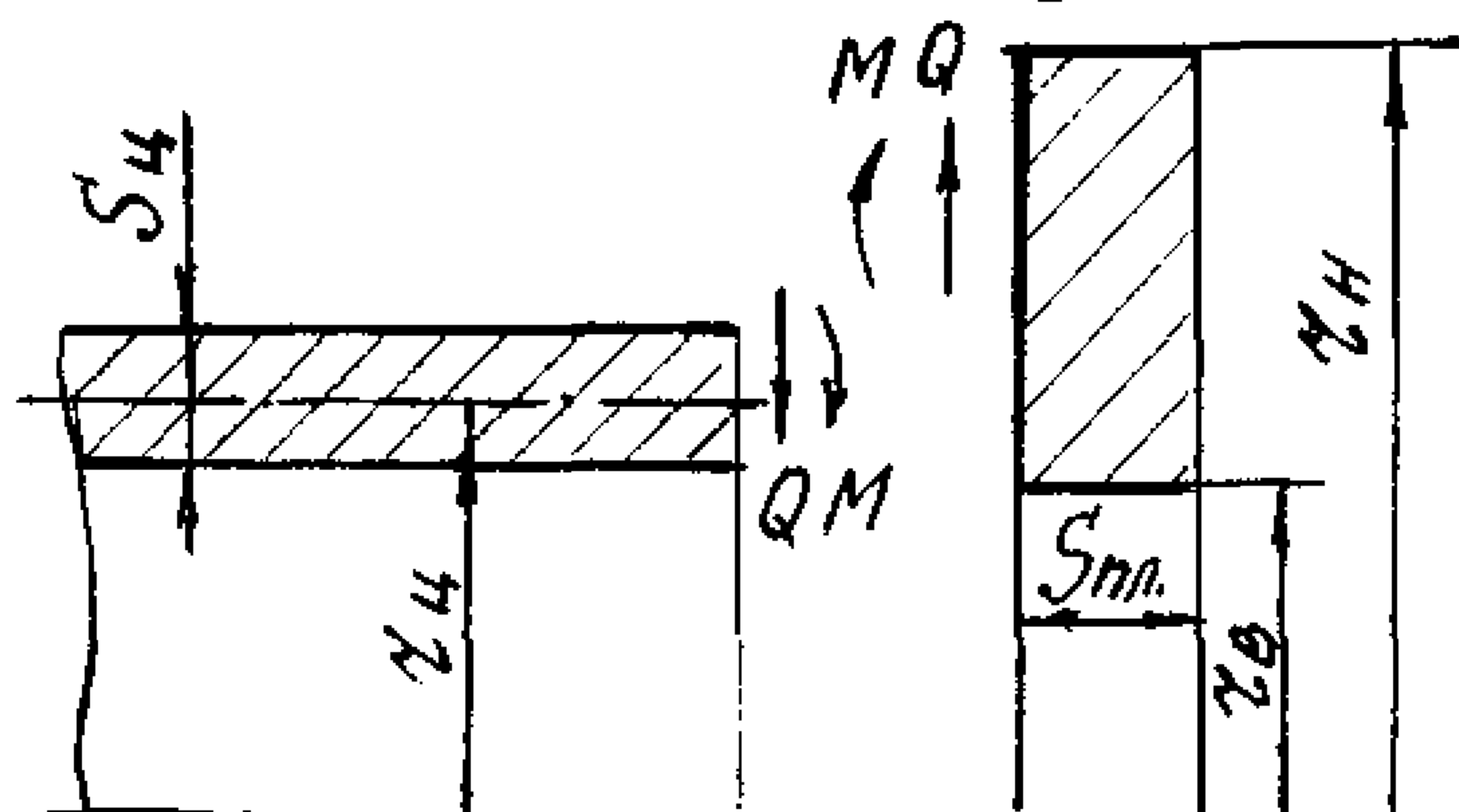


Рис.4 Узел сопряжения цилиндрической оболочки с пластиной

Таблица I

Температурные напряжения в узлах сопряжения двух осесимметричных элементов корпуса

№	Расчетная схема	Исходные данные по температурным нагрузкам	Краевые усилия и моменты	Температурные напряжения		Примечание
				Элемент I	Элемент II	
I	Узел сопряжения двух цилиндрических оболочек различной толщины (Рис.1)	$(T_S)_{4I}, (T_S)_{4II}; \Delta T_4 = (T_S)_{4I} - (T_S)_{4II}$	$M_4 = -0.303 \frac{E \alpha_t \Delta T_4 (1-H^2) S^2}{G_4}$ $Q_4 = \frac{E \alpha_t \Delta T_4 (1+H\sqrt{H}) S \sqrt{S}}{1.285 \sqrt{Z_4} G_4}$	$\sigma_M = \frac{6 M_4}{S^2}$ $\sigma_q = \frac{2.57 \sqrt{Z_4} Q_4}{S \sqrt{S}}$ $\sigma_{SH} = \sigma_M$, $\sigma_{\theta H} = \sigma_q - 0.25 \sigma_M$, $\sigma_{SB} = -\sigma_M$, $\sigma_{\theta B} = \sigma_q - 0.85 \sigma_M$.	$\sigma_M = \frac{6 M_4}{S^2} H^2$, $\sigma_q = \frac{2.57 H \sqrt{H} \sqrt{Z_4} Q_4}{S \sqrt{S}}$ $\sigma_{SH} = \sigma_M$, $\sigma_{\theta H} = \sigma_q - 0.25 \sigma_M$, $\sigma_{SB} = -\sigma_M$, $\sigma_{\theta B} = \sigma_q - 0.85 \sigma_M$.	$S = S_{4I}$, $H = \frac{S_{4I}}{S_{4II}}$, $G_4 = 1 + H^4 + 2H^2 + 2H\sqrt{H} + 2H^2/\sqrt{H}$
2	Узел сопряжения цилиндрической оболочки со сферической (рис.2)	$(T_S)_4, (T_S)_{CP}; \Delta T_{CP} = (T_S)_4 - (T_S)_{CP}$	$M_{CP} = -0.303 \frac{E \alpha_t \Delta T_{CP} (1-H^2) S^2}{G_{CP}}$ $Q_{CP} = \frac{E \alpha_t \Delta T_{CP} (1+H\sqrt{H}) \sqrt{\frac{r_{CP}}{Z_4}}}{1.285 \sqrt{Z_4} G_{CP}} S \sqrt{S}$	$\sigma_M = \frac{6 M_{CP}}{S^2}$ $\sigma_q = \frac{2.57 \sqrt{Z_4} Q_{CP}}{S \sqrt{S}}$ $\sigma_{SH} = \sigma_M$, $\sigma_{\theta H} = \sigma_q - 0.25 \sigma_M$, $\sigma_{SB} = -\sigma_M$, $\sigma_{\theta B} = \sigma_q - 0.85 \sigma_M$.	$\sigma_M = \frac{6 M_{CP}}{S^2} H^2$, $\sigma_q = \frac{2.57 H \sqrt{H} \sqrt{Z_4} Q_{CP}}{S \sqrt{S}}$ $\sigma_{SH} = \sigma_M$, $\sigma_{\theta H} = \sigma_q - 0.25 \sigma_M$, $\sigma_{SB} = -\sigma_M$, $\sigma_{\theta B} = \sigma_q - 0.85 \sigma_M$.	$S = S_4$, $H = \frac{S_4}{S_{CP}}$, $G_{CP} = 1 + H^4 + 2H^2 + 2H\sqrt{H} \frac{r_{CP}}{Z_4} + 2H^2\sqrt{H} \sqrt{\frac{r_{CP}}{Z_4}}$

Продолжение табл. I

№ п. п.	Расчетная схема	Исходные данные по температур- ным нагрузкам	Краевые усилия	Температурные напряжения		Примечание
				Элемент I	Элемент II	
3	Узел сопря- жения ци- линдрической оболочки с кольцом (Рис.3)	$(Ts)_4, (Ts)_K;$ $\Delta T_K = (Ts)_4 - (Ts)_K$	$M_K = \frac{S^2 E d \tau \Delta T_K (3W_K - 1.652)}{G_K},$ $Q_K = \frac{E d \tau \Delta T_K S}{G_K} (0.708 \sqrt{\frac{S_4}{z_4}} + W_K H)$	$\sigma_M = \frac{6M_K}{S^2},$ $\sigma_q = \frac{2.57 Q_K \sqrt{z_4}}{S \sqrt{S}},$ $\sigma_{SH} = \sigma_M,$ $\sigma_{OH} = \sigma_q - 0.25 \sigma_M,$ $\sigma_{SB} = -\sigma_M,$ $\sigma_{OB} = \sigma_q - 0.85 \sigma_M$	$\sigma_\theta = \frac{(1-R)}{R} X_K^2 \left(\frac{Q_K}{S_K} + \frac{6M_K}{S_K^2} \right)$	$S = S_4, H = \frac{S_4}{S_K},$ $R = \frac{z_B}{z_H}, X_K = \frac{(1+R)}{(1-R)},$ $W_K = X_K H^2,$ $G_K = 0.91 + W_K^2 + W_K \left(\frac{2.832}{H} \sqrt{\frac{S_4}{z_4}} + 3.304 \right) + 2.57 H \sqrt{\frac{z_4}{S_4}}$
4	Узел сопря- жения ци- линдрической оболочки с пластиной (Рис.4)	$(Ts)_4, (Ts)_{m1};$ $\Delta T_{m1} = (Ts)_4 - (Ts)_{m1}$	$M_m = -1.652 \frac{E d \tau \Delta T_{m1}}{G_{m1}} \cdot \frac{S_4^2}{6},$ $Q_{m1} = \frac{E d \tau \Delta T_{m1} S_4}{G_{m1}} (0.708 \sqrt{\frac{S_4}{z_4}} + W_{m1} H)$	$\sigma_M = \frac{6M_m}{S_4^2},$ $\sigma_q = \frac{2.57 Q_{m1} \sqrt{z_4}}{S_4 \sqrt{S_4}},$ $\sigma_{SH} = \sigma_M,$ $\sigma_{OH} = \sigma_q - 0.25 \sigma_M,$ $\sigma_{SB} = -\sigma_M,$ $\sigma_{OB} = \sigma_q - 0.85 \sigma_M$	$\sigma_\theta = -\frac{(1+R^2)}{(1-R^2)} \left(\frac{Q_{m1}}{S_m} + \frac{6M_m}{S_m^2} \right),$ $\sigma_z = \frac{Q_{m1}}{S_m} + \frac{6M_m}{S_m^2}$	$H = \frac{S_4}{S_m}; R = \frac{z_B}{z_H},$ $X_{m1} = \frac{1.3 + 0.7R^2}{(1-R)},$ $W_{m1} = X_{m1} H^2,$ $G_{m1} = 0.91 + W_{m1}^2 + W_{m1} \left(\frac{0.908}{H} \sqrt{\frac{S_4}{z_4}} + 2.57 H \sqrt{\frac{z_4}{S_4}} \right)$

4. Упрощенная методика **расчета** температурных напряжений для предельных тепловых режимов работы корпуса (квазистационарных режимов и термоударов)

4.1. С целью сокращения времени проведения прочностных расчетов при оценке температурных напряжений в корпусе арматуры предлагается упрощенная методика расчета **модельного** узла корпуса арматуры на температурные воздействия для двух предельных **тепловых** режимов.

4.1. Модельный узел корпуса арматуры представляет собой узел сопряжения двух **полубесконечных** тонкостенных цилиндрических оболочек различной толщины.

4.2. Предельными тепловыми режимами работы арматуры являются:

- а) **квазистационарные** режимы;
- б) термоудары.

4.3. Температурные напряжения определяются вдали от зоны сопряжения расчетных элементов и в зоне сопряжения расчетных элементов.

4.4. Упрощенная методика расчета температурных напряжений при квазистационарных режимах работы **арматуры**.

4.4.1. Исходными данными для **расчета** являются:

- **тепловые** параметры режима;
- геометрические размеры;
- физические и **механические характеристики** материала корпуса.

Коэффициент температуропроводности определяется по справочнику /6/ или по формуле $\alpha = \frac{C}{\rho S^2}$, в которой входящие величины находятся по теплофизическим справочникам.

4.4.2. Если **тепловые** параметры режима удовлетворяют условию

$$F_{ox} \geq 3, \quad (4)$$

где $F_{ox} = \frac{\alpha (T_{cr} - T_0)}{VFS^2}$ - предельное число Фурье

для квазистационарных режимов, выполняется упрощенный расчет темпе-

ратурных напряжений.

4.4.3. Расчет температурных напряжений не производится, если

$$\sigma_v < \sigma_{usl}$$

где $\sigma_v = \frac{E\Delta T VFS^2}{3\alpha(1-\nu)}$ (5)

4.4.3.1. В качестве σ_{usl} может быть выбрано значение напряжения составляющего 5-10% от предела текучести

4.4.4. Температурные напряжения вдали от зоны сопряжения расчетных элементов определяются по формулам:

$$\sigma_{temp} = \begin{cases} \sigma_{sh} = \sigma_{bh} = 0.5\sigma_v, \\ \sigma_{sb} = \sigma_{bb} = -\sigma_v. \end{cases} \quad (6)$$

4.4.5. Температурные напряжения в зоне сопряжения расчетных элементов определяются по формулам:

$$\sigma_{temp.} = \begin{cases} \sigma_{sh} = \sigma_v (0.5 + 2.1 f_{sh}), \\ \sigma_{bh} = \sigma_v (0.5 + 2.1 f_{bh}), \\ \sigma_{sb} = \sigma_v (-1.0 + 2.1 f_{sb}), \\ \sigma_{bb} = \sigma_v (-1.0 + 2.1 f_{bb}). \end{cases} \quad (7)$$

4.4.5.1. Коэффициенты f_{sh} , f_{bh} , f_{sb} , f_{bb} , зависящие от соотношения толщин сопрягаемых элементов, находят по графику на рис.5.

4.5. Упрощенная методика расчета температурных напряжений при термоударах.

4.5.1. Исходными данными для расчета являются:

- начальная и конечная температуры рабочей среды;
- физические и механические характеристики материала корпуса.

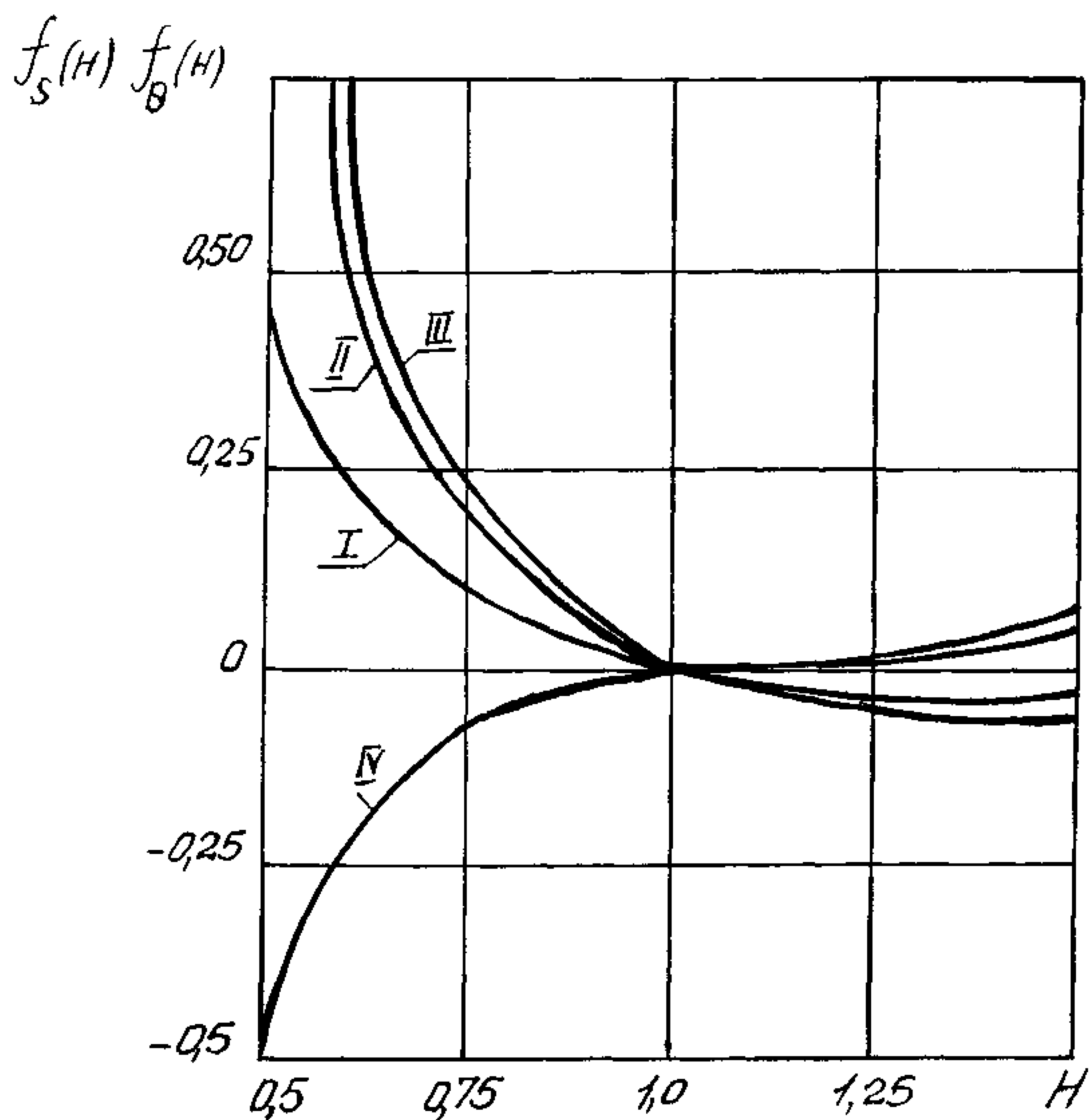


Рис.5. Коэффициенты в модельном узле
корпуса арматуры

- I - f_{sh} на наружной **поверхности** оболочки;
- II- $f_{\theta h}$ на наружной поверхности оболочки;
- III - $f_{s\varphi}$ на внутренней **поверхности** оболочки;
- IV- $f_{\vartheta\varphi}$ на внутренней **поверхности** оболочки.

4.5.2. Расчет температурных напряжений вдали от зоны сопряжения и в самой зоне сопряжения расчетных элементов выполняется в момент времени близкой к начальному, когда температурная нагрузка максимальна, по следующим формулам:

$$\sigma_{\text{TEMP}} = \begin{cases} \sigma_{sh} = \sigma_{\theta h} = \frac{0.112 E \alpha_r (T_{cp} - T_0)}{(1-\nu)}, \\ \sigma_{sb} = \sigma_{\theta b} = - \frac{0.887 E \alpha_r (T_{cp} - T_0)}{(1-\nu)} \end{cases}, \quad (10)$$

4.6. Алгоритм, форма и пример расчета приведены в приложении 2, таблица 4.

Главный инженер
предприятия п/я А-7899

М.И.Власов

Заместитель руководителя

В.А.Айриев

Начальник отдела I6I

Р.И.Хасанов

Начальник отдела II8

Р.А.Азарашвили

Руководитель темы,
ответственный исполнитель

О.П.Котельникова

Условные обозначения

- α - коэффициент температуропроводности, $\text{м}^2/\text{сек}$;
- E - модуль упругости материала расчетного элемента, Н/мм^2 ;
- $f_{sh}, f_{\theta h}, f_{sv}, f_{\theta v}$ - коэффициенты на рис.5;
- F_{Φ} - предельные значения числа Фурье для квазистационарных режимов;
- M, σ - краевые усилия и моменты;
- R_{ϕ} - радиус срединной поверхности оболочки, мм ;
- R_h, R_v - наружный и внутренний радиусы кольца или пластины;
- R_k - наружный или внутренний радиус кольца, мм ;
- S - толщина оболочки, мм ;
- S_k, S_{pl} - толщина кольца или пластины, мм ;
- T_0 - начальная температура рабочей среды, $^{\circ}\text{C}$;
- T_{ϕ} - конечная температура рабочей среды, $^{\circ}\text{C}$;
- T_s - средняя температура расчетного элемента, $^{\circ}\text{C}$;
- T_h - температура на наружной поверхности оболочки, $^{\circ}\text{C}$;
- T_a - температура на внутренней поверхности оболочки, $^{\circ}\text{C}$;
- T_k - температура на наружном или внутреннем крае кольца с радиусом R_k , $^{\circ}\text{C}$;
- T_{pl} - температура на наружном или внутреннем крае пластины, $^{\circ}\text{C}$;
- v_T - скорость изменения температуры рабочей среды, $^{\circ}\text{C}/\text{сек}$;
- α_l - коэффициент линейного расширения материала, $1/^{\circ}\text{C}$;
- ν - коэффициент Пуассона;
- σ_{temp} - температурные напряжения расчетного элемента, МПа ;
- условное минимальное значение температурного напряжения, Н/мм^2
- σ_{sh}, σ_{sv} - меридиональные температурные напряжения на наружной и внутренней поверхности оболочки, МПа ;

- $\sigma_{\theta h}$, $\sigma_{\theta v}$ - кольцевые температурные напряжения на наружной и внутренней поверхности оболочки, МПа;
- σ_{θ} - кольцевые температурные напряжения, МПа;
- σ_z - радиальные температурные напряжения, МПа;
- σ_v - температурные напряжения при квазистационарном режиме, МПа;
- λ - коэффициент теплопроводности, вт/м $^{\circ}\text{C}$;
- c - удельная теплоемкость, кДж/кг $^{\circ}\text{C}$;
- ρ - плотность, кг/м³.

Расчет температурных напряжений в отдельных осесимметричных элементах и узлах сопряжения корпуса трубопроводной арматуры

I. Задача расчета.

Задачей расчета является определение следующих температурных напряжений в осесимметричных элементах и узлах корпуса:

σ_{sh} σ_{sv} ~ меридиональные температурные напряжения на наружной и внутренней поверхности оболочек;

$\sigma_{\theta h}$ $\sigma_{\theta v}$ - кольцевые температурные напряжения на наружной и внутренней поверхности оболочек;

σ_r - радиальные напряжения в пластине;

σ_θ - кольцевые напряжения в пластине или кольце.

Индексы z , s , A . m относятся соответственно к цилиндрической, сферической оболочке, кольцу и пластине.

2. Исходные данные:

S, z, z_h, z_v - геометрические размеры (см. рис. 1-4);

E, α_t, ν - модуль упругости, коэффициент линейного расширения, коэффициент Пуассона;

T_h, T_a - температуры на наружной и внутренней поверхности оболочки;

T_s - средняя температура расчетного элемента;

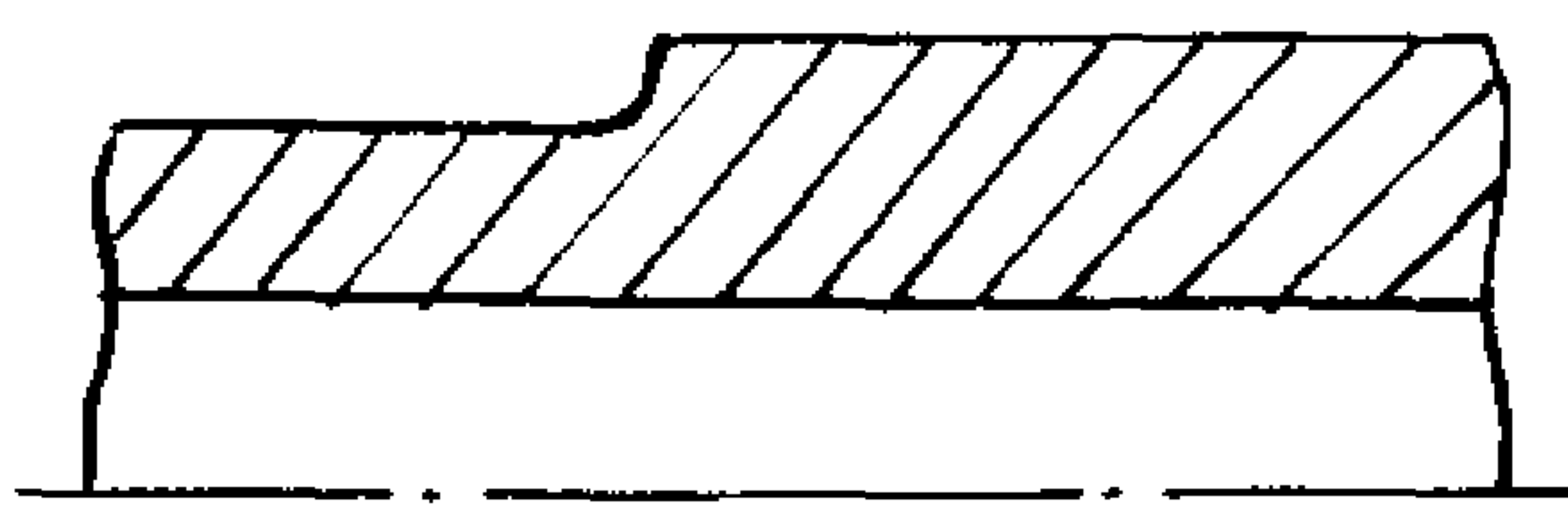
T_k, T_m - температура в расчетной точке кольца или пластины.

3. Расчет температурных напряжений в корпусе арматуры выполнен по методике РДМУ 26-07- 270 -88.

4. Расчет выполнен для распространенных узлов корпуса арматуры (рис. 6).

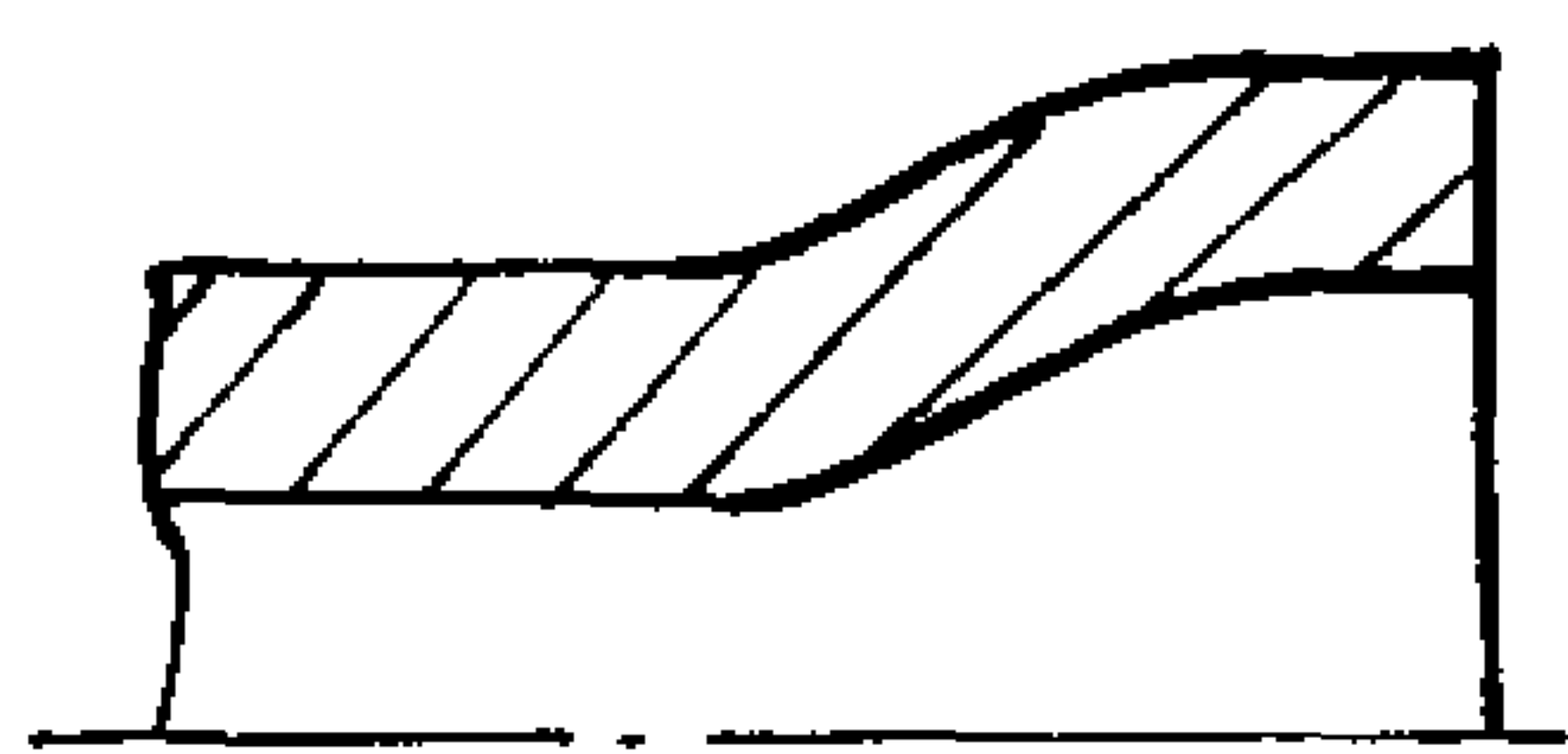
5. Алгоритм расчета, форма и пример расчета приведены на таблицах 2, 3, 4.

Узел I



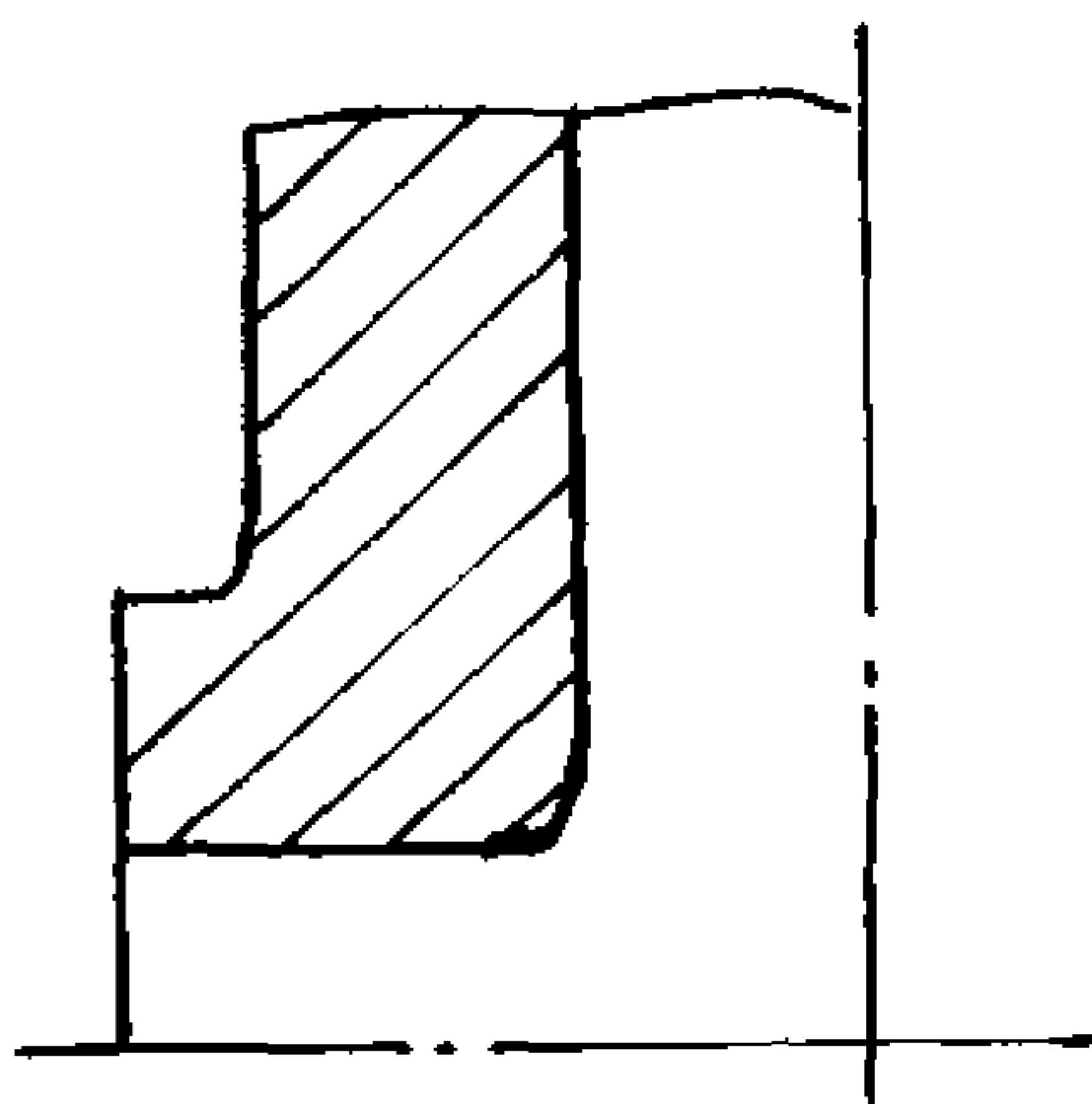
Расчетная схема
п.2.3. и табл. I п.п.1 (Рис.1)

Узел II



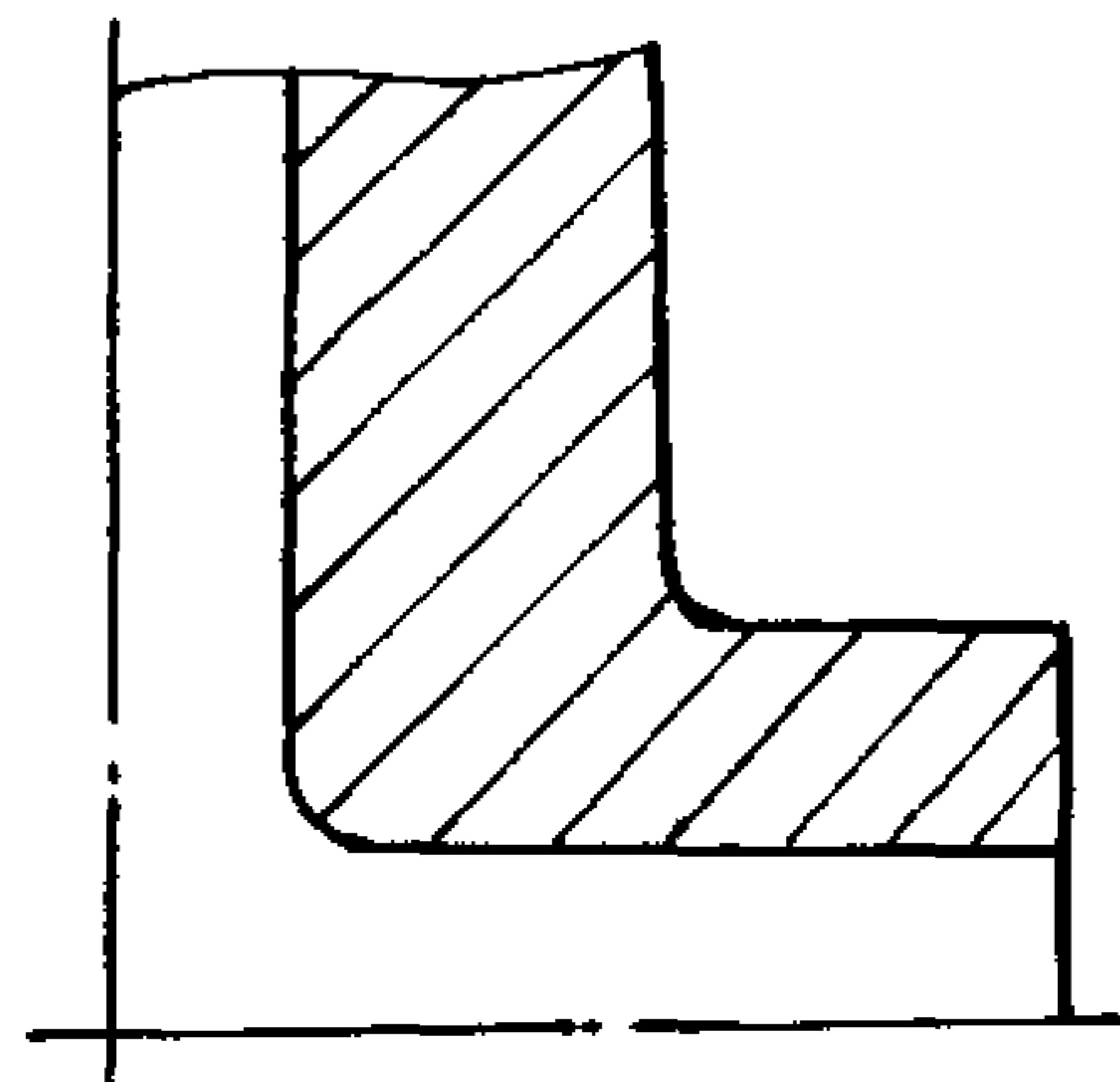
Расчетная схема
п.2.3. и табл. I
п.п.2 (рис.2)

Узел III



Расчетная схема
п.2.4. и табл. I п.п.3
(Рис.3)

Узел IV



Расчетная схема
п.2.5. и табл. I п.п.4
(Рис.4)

Рис.6. Расчетные узлы корпуса трубопроводной арматуры.

Отдельные осесимметричные элементы корпуса арматуры

Таблица 2

Расчетные величины
и формулы

Исходные данные

Материал		12Х18Н10Т	
См. п. 1.4.	E	, МПа	$1,97 \cdot 10^5$
	α_t	, $1/^\circ\text{C}$	$1,77 \cdot 10^{-5}$
	ν	, $^\circ\text{C}$	0,3
	T_h	, $^\circ\text{C}$	20
	T_a	, $^\circ\text{C}$	300
См. п. 2.3.	$(T_s)_4$, $^\circ\text{C}$	100
	$(T_s)_k$, $^\circ\text{C}$	60
	$(T_s)_m$, $^\circ\text{C}$	80
См. рис 1-4	T_k	, $^\circ\text{C}$	300
	T_m	, мм	300
	z_h	, мм	140
	z_a	, мм	90
	z_k	, мм	90
	$K = \frac{E \alpha t}{(1-\nu)}$, МПа/ $^\circ\text{C}$	4,981

Цилиндрическая и сферическая оболочка

$\sigma_{sh} = \sigma_{bh} = K (T_s - T_h)$, МПа	398
$\sigma_{sb} = \sigma_{bb} = K (T_s - T_a)$, МПа	-996

Пластина

$\sigma_\theta = \sigma_z = K (T_s - T_m)$, МПа	-1096
--	-------	-------

Кольцо

$\sigma_\theta = E \alpha t \frac{(z_h + z_a)}{2 z_k} (T_s - T_k)$, МПа	-1069
--	-------	-------

Узлы сопряжения, состоящие из двух элементов корпуса арматуры

Таблица 5

Расчетные величины и формулы

Узел I (см. рис. 6)

<u>Узел сопряжения двух цилиндрических оболочек различной толщины</u> (см. рис. I)

<u>Исходные данные</u>

П.п. 4 О П 3 М Р С 1	Материал	12Х18Н10Т
	E , МПа	$1,97 \cdot 10^5$
	α_t , $1/^\circ\text{C}$	$1,77 \cdot 10^{-5}$
	z , мм	100
	s_{4I} , мм	20
	s_{4II} , мм	30
	$(T_s)_{4I}$, $^\circ\text{C}$	100
	$(T_s)_{4II}$, $^\circ\text{C}$	80

<u>Вспомогательные величины</u>

$H = \frac{s_{4I}}{s_{4II}}$	0,667
$K_1 = \sqrt{1-H^2}$	0,555
$K_2 = \sqrt{1+H^2}\sqrt{H}$	1,363
$G_4 = 1+H^4+2H^2+2H\sqrt{H}+2H^2\sqrt{H}$	3,9
$\Delta T_4 = (T_s)_{4I} - (T_s)_{4II}$, $^\circ\text{C}$	20
$\sigma_4^* = E \alpha_t \Delta T_4$, МПа	70
$M_1 = -1,816 \sigma_4^* K_1 / G_4$	-18,09
$Q_1 = \frac{\sigma_4^* K_2}{G_4}$	24,46

Продолжение табл.3

Расчетные величины
и формулы

Температурные напряжения в цилиндрической оболочке I

$\sigma_{sh} = M_1$, МПа	-18
$\sigma_{\theta h} = 2Q_1 - 0.25M_1$, МПа	54
$\sigma_{sb} = -M_1$, МПа	18
$\sigma_{\theta b} = 2Q_1 - 0.85M_1$, МПа	64

Температурные напряжения в цилиндрической оболочке II

$\sigma_{sh} = H^2 M_1$, МПа	-8
$\sigma_{\theta h} = 2H\sqrt{H} Q_1 - 0.25H^2 M_1$, МПа	30
$\sigma_{sb} = -H^2 M_1$, МПа	8
$\sigma_{\theta b} = 2H\sqrt{H} Q_1 - 0.85H^2 M_1$, МПа	37

Узел II (см. рис.6)

Узел сопряжения цилиндрической оболочки со сферической (см. рис.2)

Исходные данные

См. п. I.4	Материал	I2Х18Н10Т
	ϵ	$1,97 \cdot 10^5$
	α_t	$1,77 \cdot 10^{-5}$
	s_u	20
	s_{cf}	30
См. рис. 2	z_u	100
	z_{cf}	150

Продолжение табл.3

Расчетные величины и формулы			
См. 3.	$(T_s)_u$, °C	100
П.	$(T_s)_{\text{ср}}$, °C	80
<u>Вспомогательные величины</u>			
	$H = \frac{s_u}{s_{\text{ср}}}$		0,555
	$K_1 = 1 - H^2$		0,691
	$K_2 = 1 + H^2 \sqrt{H} \sqrt{\frac{z_{\text{ср}}}{z_u}}$		1,667
	$G_{\text{ср}} = 1 + H^4 + 2H^2 + 2H\sqrt{H} \sqrt{\frac{z_u}{z_{\text{ср}}}} + 2H^2\sqrt{H} \sqrt{\frac{z_{\text{ср}}}{z_u}}$		3,6
	$\Delta T_{\text{ср}} = (T_s)_u - (T_s)_{\text{ср}}$, °C	20
	$\sigma_{\text{ср}}^* = E \alpha_T \Delta T_{\text{ср}}$, МПа	70
	$M_1 = -1816 \frac{\sigma_{\text{ср}}^* K_1}{G_{\text{ср}}}$		-24,4
	$Q_1 = \frac{\sigma_{\text{ср}}^* K_2}{G_{\text{ср}}}$		32,41
<u>Температурные напряжения в цилиндрической оболочке</u>			
	$\sigma_{sh} = M_1$, МПа	-24
	$\sigma_{sb} = -\sigma_{sh}$, МПа	71
	$\sigma_{oh} = 2Q_1 - 0.25M_1$, МПа	24
	$\sigma_{ob} = 2Q_1 - 0.85M_1$, МПа	85
<u>Температурные напряжения в оферической оболочке</u>			
	$\sigma_{sh} = H^2 M_1$, МПа	-II
	$\sigma_{sb} = -\sigma_{sh}$, МПа	38
	$\sigma_{oh} = 2H\sqrt{H} Q_1 - 0.25 H^2 M_1$, МПа	II
	$\sigma_{ob} = 2H^2\sqrt{H} Q_1 - 0.85 H^2 M_1$, МПа	44

Продолжение табл.3

Расчетные величины и формулы		Узел I (см.рис.6)
<u>Узел сопряжения цилиндрической оболочки с кольцом (Рис.3)</u>		
<u>Исходные данные</u>		
См.п.1.4.		Материал
См.п.1.3.	E	, МПа
п.3.3.	α_t	, $1/\text{^{\circ}C}$
	s_y	, мм
	s_k	, мм
	z_h	, мм
	z_b	, мм
	z_u	, мм
	$(T_s)_u$, $^{\circ}\text{C}$
	$(T_s)_k$, $^{\circ}\text{C}$
<u>Вспомогательные величины</u>		
$R = \frac{z_b}{z_h}$		0,643
$H = \frac{s_y}{s_k}$		0,4
$X_K = \frac{(1+R)}{2(1-R)}$		2,3
$W_K = X_K H^2$		0,368

Продолжение табл.3

Расчетные величины и формулы		
$G_K = 0.91 + W_K^2 +$		
$+ W_K \left(\frac{2.832}{H} \sqrt{\frac{S_4}{Z_4}} + 3.304 + 2.57 H \sqrt{\frac{S_4}{Z_4}} \right)$		4,272
$\Delta T_K = (T_S)_4 - (T_S)_K$, °C	40
$\sigma_K^* = E \Delta T_K$, МПа	140
$M_K = \frac{S_4^2}{6} \frac{\sigma_K^* (3W_K - 1.652)}{G_K}$, МПа · мм	-1197
$Q_K = \frac{S_4 \sigma_K^* (0.708 \sqrt{\frac{S_4}{Z_4}} + W_K H)}{G_K}$, МПа · мм	304
$\sigma_m = \frac{6M_K}{S_4^2}$, МПа	-18
$\sigma_q = \frac{2.57 Q_K \sqrt{Z_4}}{S_4 \sqrt{S_4}}$, МПа	87

Температурные напряжения в цилиндрической оболочке

$\sigma_{SH} = \sigma_m$, МПа	-18
$\sigma_{SB} = -\sigma_{SH}$, МПа	92
$\sigma_{OH} = \sigma_q - 0.25 \sigma_m$, МПа	18
$\sigma_{OB} = \sigma_q - 0.85 \sigma_m$, МПа	102

Температурные напряжения в кольце

$\sigma_\theta = \frac{(1-R)}{R} \chi_K^2 \left(\frac{Q_K}{S_K} + \frac{6M_K}{S_K^2} \right)$, МПа	9,4
--	-------	-----

Узел IУ (см. рис.6)

Узел сопряжения цилиндрической оболочки с пластиной (см. рис.4)Исходные данные

См. п. I.4. Материал	I2Х18Н10Т
-------------------------	-----------

Продолжение табл.

Расчетные величины и формулы		
П. I. 4.	E , МПа	$1,97 \cdot 10^5$
	α_T , $1/^\circ\text{C}$	$1,77 \cdot 10^{-5}$
	s_4 , мм	20
	z_4 , мм	100
См. рис. 4	s_m , мм	20
	z_H , мм	140
	z_B , мм	90
	z_m , мм	90
П. 3.3.	$(T_s)_4$, $^\circ\text{C}$	100
П. 3.3.	$(T_s)_m$, $^\circ\text{C}$	80
Вспомогательные величины		
$R = \frac{z_B}{z_H}$		0,643
$H = \frac{s_4}{s_m}$		1,0
$X_m = \frac{1.3 + 0.7R^2}{(1-R^2)}$		0,932
$W_m = X_m H^2$		0,932
$G_m = 0.91 + W_m^{2/3} +$		
$+ W_m \left(\frac{0.708}{H} \sqrt{\frac{s_4}{z_4}} + 2.57 H \sqrt{\frac{z_4}{s_4}} \right)$		7,42
$\Delta T_m = (T_s)_4 - (T_s)_m$, $^\circ\text{C}$		20
$\dot{\omega}_m^* = E \alpha_T \Delta T_m$, МПа		70
$M_m = -1.652 \frac{\dot{\omega}_m^* s_4^2}{G_m \cdot 6}$, МПа мм^2		-1039
$Q_m = \frac{\dot{\omega}_m^* s_4}{G_m} \left(0.708 \sqrt{\frac{s_4}{z_4}} + W_m H \right)$, МПа мм		235
$\dot{\omega}_m = \frac{6 M_m}{s_4^2}$, МПа	-16

Продолжение табл.3

Расчетные величины и формулы	
$\sigma_q = \frac{2.57 Q_m \sqrt{s_4}}{S_4 \sqrt{S_4}}$, МПа 68

Температурные напряжения в цилиндрической оболочке

$\sigma_{sh} = \sigma_m$, МПа	-16
$\sigma_{sb} = -\sigma_{sh}$, МПа	72
$\sigma_{oh} = \sigma_q - 0.25 \sigma_m$, МПа	16
$\sigma_{ob} = \sigma_q - 0.85 \sigma_m$, МПа	82

Температурные напряжения в пластине

$\sigma_z = \frac{Q_m}{S_m} + \frac{6M_m}{S_m r^2}$, МПа	3,8
$\sigma_\theta = -\frac{(1+R^2)}{(1-R^2)} \left(\frac{Q_m}{S_m} + \frac{6M_m}{S_m r^2} \right)$, МПа	9,2

Упрощенный расчет температурных напряжений
в модельном узле корпуса для предельных
тепловых режимов

Таблица 4

Расчетные величины и формулы		
<u>Упрощенный расчет температурных напряжений при квазистационарных режимах</u>		
<u>Исходные данные</u>		
	Материал	I2Х18Н10Т
См. п. I.4	E , МПа	$1,95 \cdot 10^5$
См. I рис. I	α_t , $1/\text{ }^{\circ}\text{C}$	$1,74 \cdot 10^{-5}$
	ν	0,3
4.4.1.2	a , $\text{мм}^2/\text{сек}$	4,7
См. п. 4.4.1	S_{41} , мм	20
	S_{42} , мм	30
	T_0 , $^{\circ}\text{C}$	20
	T_{φ} , $^{\circ}\text{C}$	300
	v_f , $^{\circ}\text{C}/\text{сек}$	0,084
<u>Предельное число Фурье</u>		
$F_{0*} = \frac{a (T_{\varphi} - T_0)}{v_f S^2}$		39
Условие $F_{0*} > 3$ (выполнено, не выполнено)		выполнено
<u>Температурные напряжения</u>		
$\sigma_v = \frac{v_f S^2 E \alpha_t}{3a (1-\nu)}$, МПа		II,6

Продолжение табл.4

Расчетные величины и формулы		
См. п. 4.4.5.1	σ_{us} , МПа	9,4
	Условие $\sigma_v < \sigma_{us}$ (выполнено, не выполнено)	выполнено

Температурные напряжения вдали от зоны сопряжения

$\sigma_{sh} = \sigma_{bh} = 0.5 \sigma_v$, МПа	5,6
$\sigma_{sb} = \sigma_{ob} = -\sigma_v$, МПа	-11,6

Вспомогательные величины

$H = \frac{S_{4I}}{S_{4II}}$		0,66?
См. п. 4.4.5.1	f_{sh}	0,13
	f_{sb}	-0,13
	f_{bh}	0,3
	f_{ob}	0,36

Температурные напряжения в зоне сопряжения

$\sigma_{sh} = 0.5 \sigma_v + 2.1 \sigma_v f_{sh}$, МПа	8,4
$\sigma_{bh} = \sigma_v (0.5 + 2.1 f_{bh})$, МПа	13,1
$\sigma_{sb} = \sigma_v (-1 + 2.1 f_{sb})$, МПа	-14,8
$\sigma_{ob} = \sigma_v (-1 + 2.1 f_{ob})$, МПа	-2,8

Упрощенный расчет температурных напряжений при термоударах

$\sigma_{sh} = \sigma_{bh} = \frac{0.112}{(1-\nu)} E \alpha_T (T_{cp} - T_0)$, МПа	152
$\sigma_{sb} = \sigma_{ob} = - \frac{0.887}{(1-\nu)} E \alpha_T (T_{cp} - T_0)$, МПа	-1204

Литература

1. Отчеты п/я А-7899, 1987-88 гг. по исследованию температурных напряжений в осесимметричных элементах корпусов трубопроводной арматуры.
2. "Нормы расчета на прочность оборудования и трубопроводов атомных энергетических установок", ПиН АЭ Г-7-002-86.
3. Основы термоупругости. А.Д.Коваленко - Киев, Наукова Думка, 1975 г., с.307.
4. Прочность, устойчивость, колебания: Справочник, том I, под редакцией И.А.Биргера и Л.Г.Цановко.-М., Машиностроение, 1968 г., с.831.
5. *Khlebkova . Nestacionární teplotní pole a napjatost ve středních částech. -SNTx, Praha, 1979.*
6. Физические свойства сталей и сплавов, применяемых в энергетике. Справочник под ред.Б.Е.Неймарк.-М.-Л., Энергия 1967.

Лист ~~внештранши компонент~~ РПМУ 26-07-270 -88

изме- нения	Номер листа заме- го	НОВО- ГО	анну- лиро- ван- НОГО	Номер доку- мента	Под- пись	Дата внесения измене- ния	Дата введения изменения